

МИНИСТЕРСТВО ОБРАЗОВАНИЯ И НАУКИ РОССИЙСКОЙ ФЕДЕРАЦИИ
Федеральное государственное автономное образовательное учреждение высшего образования
**«НАЦИОНАЛЬНЫЙ ИССЛЕДОВАТЕЛЬСКИЙ
ТОМСКИЙ ПОЛИТЕХНИЧЕСКИЙ УНИВЕРСИТЕТ»**
ЮРГИНСКИЙ ТЕХНОЛОГИЧЕСКИЙ ИНСТИТУТ

ЭКОЛОГИЯ И БЕЗОПАСНОСТЬ В ТЕХНОСФЕРЕ: СОВРЕМЕННЫЕ ПРОБЛЕМЫ И ПУТИ РЕШЕНИЯ

Сборник трудов
Всероссийской научно-практической
конференции молодых ученых,
аспирантов и студентов

23–25 ноября 2017 г.

Томск 2017

УДК 504.06(063)

ББК 20.18л0

Э40

- Экология и безопасность в техносфере: современные проблемы и
Э40 пути решения : сборник трудов Всероссийской научно-практической конфе-
ренции молодых ученых, аспирантов и студентов / Юргинский технологический
институт. – Томск : Изд-во Томского политехнического университета, 2017. –
736 с.**

ISBN 978-5-4387-0785-1

В сборнике представлены материалы по современным проблемам экологической и техногенной безопасности, технологий переработки отходов, информационно-компьютерных технологий в решении задач экологии и БЖД, а также современных технологий ликвидаций ЧС и технического обеспечения аварийно-спасательных работ; содержатся результаты теоретических исследований и практической реализации научно-исследовательских работ.

Материалы сборника представляют интерес для преподавателей, научных сотрудников, аспирантов и студентов по направлению «техносферная безопасность».

УДК 504.06(063)

ББК 20.18л0

Ответственный редактор

Д.А. Чинахов

Редакционная коллегия

С.А. Солодский
А.Г. Мальчик
Л.Г. Полещук
С.В. Литовкин
Э.Ф. Кусова

*Издание осуществлено при финансовой поддержке
Российского фонда фундаментальных исследований*

ISBN 978-5-4387-0785-1

© ФГАОУ ВО НИ ТПУ Юргинский
технологический институт (филиал), 2017

СОДЕРЖАНИЕ

СЕКЦИЯ 1: ЭКОЛОГИЧЕСКИЕ ОСНОВЫ ПРОГРЕССИВНЫХ ТЕХНОЛОГИЙ

АНАЛИЗ ЭФФЕКТИВНОСТИ ИСПОЛЬЗОВАНИЯ ЦИКЛОННОЙ ФИЛЬТРАЦИИ ДЛЯ ОСАЖДЕНИЯ МЕЛКОДИСПЕРСНЫХ ЧАСТИЦ

Замалиева А.Т., Зиганшин М.Г. 17

РАЗРАБОТКА ТЕХНОЛОГИИ УТИЛИЗАЦИИ ОТХОДОВ ПТИЦЕВОДСТВА В КОРМОВУЮ ДОБАВКУ

Пискаева А.И., Зимина М.И., Бабич О.О., 23

ОСНОВНЫЕ НАПРАВЛЕНИЯ И РАЗРАБОТКИ БЕЗОТХОДНОЙ И МАЛООТХОДНОЙ ТЕХНОЛОГИИ В МЕТАЛЛУРГИИ

Короткова Е.А., Бабакова Е.В. 26

ТЕОРЕТИЧЕСКИЕ ОСНОВЫ ЭКОЛОГИЧЕСКОЙ МОДЕРНИЗАЦИИ

Погорелая Т.А., Мерзлякова С.Б. 29

ТЕХНОЛОГИЯ ОЧИСТКИ ОТХОДЯЩИХ ГАЗОВ ПРИ ПРОИЗВОДСТВЕ ФЕРРОСПЛАВОВ

Гуляев Н.М. 33

ИСПОЛЬЗОВАНИЕ ОТХОДОВ ПОЛИПРОПИЛЕНА В ДОРОЖНОМ СТРОИТЕЛЬСТВЕ

Корнейчук Н.С., Желтобрюхов В.Ф. 36

ПЕРЕРАБОТКА ОТРАБОТАННЫХ РЕЗИНОТЕХНИЧЕСКИХ ИЗДЕЛИЙ В ТОВАРНУЮ ПРОДУКЦИЮ

Задавина Е.С., Поров В.С., Кононова А.С., 39

ПЕРЕРАБОТКА И УТИЛИЗАЦИЯ ФЕРРОСПЛАВНЫХ ШЛАКОВ

Шкирина А.И. 42

ПЕРСПЕКТИВЫ РАЗВИТИЯ БИОТЕХНОЛОГИЙ

Алейников М.А. 44

ОЧИСТКА ПОЧВЫ ОТ ТЯЖЕЛЫХ МЕТАЛЛОВ

Соловян А.В., Родзевич А.П. 47

ИСПОЛЬЗОВАНИЕ БАРИЙ-СТРОНЦИЕВОГО КАРБОНАТИТА ПРИ ИЗГОТОВЛЕНИИ СВАРОЧНЫХ ФЛЮСОВ НА ОСНОВЕ ТЕХНОГЕННЫХ ОТХОДОВ МЕТАЛЛУРГИЧЕСКОГО ПРОИЗВОДСТВА

Михно А.Р., Крюков Р.Е., Козырев Н.А. 49

ТЕХНОЛОГИЯ ПОЛУЧЕНИЕ НЕФТЕСОРБЕНТА НА ОСНОВЕ ВТОРИЧНОГО СЫРЬЯ

Квашевая Е.А., Ушакова Е.С., Козлова И.В. 55

ПРИМЕНЕНИЕ ПАКЕТОВ NATIONAL INSTRUMENTS И ROCKY С ЦЕЛЬЮ СОЗДАНИЯ АВТОМАТИЗИРОВАННОЙ СИСТЕМЫ УТИЛИЗАЦИИ ОТХОДОВ

Епифанцев К.В., Кульбик В.И. 59

АЛЬТЕРНАТИВНАЯ ЭНЕРГЕТИКА: ЗАМЕНА УГЛЕВОДОРОДОВ НА ЭНЕРГИЮ СОЛНЦА

Некрасова М.Е., Платонов М.А., Чеботков А.И. 64

ЭКОЛОГИЧЕСКИЕ ПРОБЛЕМЫ ИНФОРМАЦИОННОЙ ЦИВИЛИЗАЦИИ

Некрасова М.Е., Парщукова Н.П. 67

РАЗРАБОТКА МЕТОДИКИ ХИМИЧЕСКОЙ МОДИФИКАЦИИ ШОВНОГО МАТЕРИАЛА ДЛЯ СЕРДЕЧНО-СОСУДИСТОЙ ХИРУРГИИ

Акентьева Т.Н., Лузгарев С.В., Кудрявцева Ю.А. 70

поверхность корня растения, обычно до нескольких миллиметров от поверхности корня. Загрязняющие вещества либо адсорбируются на поверхности корня, либо поглощаются корнями растений. Растения, используемые для ризофильтрации, не высаживаются непосредственно на месте, а вначале акклиматизируются для загрязняющих веществ. Растения выращивают гидропонически в чистой воде, а не в почве, до тех пор, пока не будет развита большая корневая система. После того, как будет создана большая корневая система, водоснабжение заменяется подачей загрязненной воды для акклиматизации установки. После того, как растения становятся акклиматизированными, они высаживаются в загрязненной области, где корни поглощают загрязненную воду и загрязняющие вещества вместе с ней. По мере того как корни становятся насыщенными, их собирают и удаляют безопасно. Повторные обработки участка могут уменьшить загрязнение до приемлемых уровней, как это было показано в Чернобыле, где подсолнечники выращивались в радиоактивно загрязненных бассейнах [5].

Обобщив вышесказанное можно сделать следующий вывод.

Для выбора подходящих вариантов коррекции необходимы базовые знания об источниках, химии и потенциальных рисках токсичных тяжелых металлов на загрязненных почвах. Для устранения связанных с этим рисков необходимо восстановить почву, загрязненную тяжелыми металлами, сделать земельный ресурс доступным для сельскохозяйственного производства, повысить продовольственную безопасность и уменьшить проблемы землевладения. Иммобилизация, промывка почв и фиторемедиация часто перечисляются среди лучших доступных технологий очистки загрязненных тяжелыми металлами почв, но в основном демонстрируются в развитых странах. Эти технологии рекомендуются для применения на местах и коммерциализации в развивающихся странах, где сельское хозяйство, урбанизация и индустриализация оставляют наследие ухудшения состояния окружающей среды.

Литература.

1. Влияние некоторых тяжелых металлов и микроэлементов на биохимические процессы в организме человека //FR [электронный ресурс] – Режим доступа. – URL: <http://www.forens-med.ru/book.php?id=1839>
2. Биоаккумуляция// Академик [электронный ресурс] – Режим доступа. – URL: <http://dic.academic.ru/dic.nsf/ruwiki/181>.
3. Heavy Metals Contaminated Soils: A Review of Sources, Chemistry, Risk and Best Available Strategies for Remediation // Международные научные исследования [электронный ресурс] – Режим доступа. – URL: <https://www.hindawi.com/journals/isrn/2011/402647/>
4. HeavyMetals//Lenntech [электронный ресурс] – Режим доступа. – URL:<https://www.lenntech.com/processes/heavy/heavy-metals/heavy-metals.htm>
5. Potential BiotechnologicalStrategies for the Cleanup of Heavy Metals and Metalloids //Frontiers in Plant Science [электронный ресурс] – Режим доступа. – URL: <https://www.ncbi.nlm.nih.gov/pmc/articles/PMC4791364/>
6. Фитостабилизация // Агрохимия [электронный ресурс] – Режим доступа. – URL: <http://agrohimija24.ru/mikroelementy/2090-fitostabilizaciya.html>

ИСПОЛЬЗОВАНИЕ БАРИЙ-СТРОНЦИЕВОГО КАРБОНАТИТА ПРИ ИЗГОТОВЛЕНИИ СВАРОЧНЫХ ФЛЮСОВ НА ОСНОВЕ ТЕХНОГЕННЫХ ОТХОДОВ МЕТАЛЛУРГИЧЕСКОГО ПРОИЗВОДСТВА

А.Р. Михно, маг., Р.Е. Крюков, к.т.н., доц., Н.А. Козырев, д.т.н., проф.

ФГБОУ ВО «Сибирский государственный индустриальный университет»

654007, Россия, Кемеровская обл., Новокузнецк, ул. Кирова, 42.

E-mail: mikno-mm131@mail.ru

Аннотация: В данной работе рассмотрена возможность использования барий-стронциевого карбонатита при изготовлении сварочных флюсов на основе шлака производства силикомарганца, а так же на основе ковшевых электросталеплавильных шлаков, образованных при производстве рельсовых марок стали.

В серии опытов в лабораторных условиях изготавливали и исследовали различные составы сварочных флюсов, были определены химические составы наплавленного металла, проведен металлографический анализ.

Abstract: In this paper the possibility of using barium-strontium carbonatite in the manufacture of welding fluxes on the basis of slag from the production of silicomanganese, and based on ladle steelmaking slags formed in the production of rail steel grades.

In a series of experiments in the laboratory have produced and investigated different compositions of welding fluxes, were determined the chemical compositions of the weld metal metallographic analysis.

Введение

Утилизация техногенных отходов металлургического производства в качестве компонентов для изготовления сварочных флюсов широко используется в РФ и за рубежом. Перспективными направлениями повышения качества сварного шва является разработка и использования новых флюсов, флюс добавок с применением техногенных металлургических отходов - шлаков и шламов. Одними из таких компонентов являются шлак производства силикомарганца и ковшевой электросталеплавильный шлак. Большая работа проведена по использованию барий-стронциевого карбонатита в качестве флюс добавок [1-6].

Материал и методика исследования

В качестве первого флюса использовался электросталеплавильный шлак производства рельсовой стали производимой на АО «ЕВРАЗ ЗСМК» с химическим составом, мас.%: 1,31% FeO, 0,22% MnO, 35,19% Ca, 36,26% SiO₂, 6,17% Al₂O₃, 11,30% MgO, 0,28% Na₂O, 0% K₂O, 3,34% F, <0,12% C, 1,26% S, 0,02% P.

В качестве второго флюса использовался шлак силикомарганца производства Западно-Сибирского металлургического завода с химическим составом : Al₂O₃ 6,91-9,62%, CaO 22,85-31,70 %, SiO₂ 46,46-48,16 %, FeO 0,27-0,81 %, MgO 6,48-7,92 %, MnO 8,01-8,43%,F 0,28-0,76%, Na₂O 0,26-0,36% K₂O до 0,6 2 %,S 0,15-0,17 %,P 0,01 %.

В качестве флюс – добавки использовался барий-стронциевый модификатор БСК по ТУ 1717-001-75073896-2005 производства ООО « НПК Металлотехнопром » с химическим составом, мас.%: 13,0-19,0% BaO, 3,5- 7,5% SrO, 17,5-25,5% CaO, 19,8- 29,8% SiO₂, 0,7- 1,1% MgO, 2,5- 3,5% K₂O, 1,0- 2,0% Na₂O, 1,5- 6,5% Fe₂O₃, 0 - 0,4% MnO, 1,9- 3,9% Al₂O₃, 0,7- 1,1% TiO₂, 16,0-20,0% CO₂.

Приготовление стронций – бариевой флюс – добавки проводили по двум вариантам 1) путем смешения барий - стронциевого модификатора фракции менее 0,2мм с жидким стеклом в соотношении 75% и 25% соответственно; после чего осуществляли 24-часовую выдержку при комнатной температуре, с последующей сушкой в печи при температуре 300 °C, охлаждением, дроблением и просевом с выделением фракции 0,45-2,5мм. 2) использовали в качестве добавки пыль стронций – бариевого модификатора фракции менее 0,2мм.

В качестве первого сварочного флюса использовали ковшевой электросталеплавильный шлак фракции менее 0,2мм. приготовленных с жидким стеклом в соотношении 62% и 38% соответственно. После чего осуществляли 24-часовую выдержку при комнатной температуре, с последующей сушкой в печи при температуре 300 °C, охлаждением, дроблением и просевом с выделением фракции 0,45-2,5мм.

В качестве второго сварочного флюса использовали шлак производства силикомарганца фракции 0,45-2,5мм в смеси с флюс-добавкой (барий-стронциевым модификатором с жидким стеклом в соотношении 75% на 25%) в количествах 2; 4 и 6 % (M2,M4,M6) и пылью стронций-бариевого карбонатита в количестве 2% и 6% (M21, M61) в сравнении с флюсом изготовленном 100% из шлака производства силикомарганца без добавок (M).

После изготовления флюса и флюс - добавки проводили смешения флюса и флюс-добавки. Состав флюса приведен в таблице 1.

Таблица 1

Маркировка флюса	Состав флюса, %		
	Количество барий - стронциевой добавки		Количество ковшевого шлака с жидким стеклом
	С жидким стеклом	пылеобразной	
1	2	3	4
Б	-	-	100%
Б2	2%	-	98%
Б4	4%	-	96%
Б6	6%	-	94%
Б8	8%	-	92%
Б21	-	2%	98%
Б61	-	6%	94%
			Количество шлака производства силикомарганца
M	-	-	100%
1	2	3	4
M2	2%	-	98%
M4	4%	-	96%
M6	6%	-	94%
M21		2%	98%
M61	-	6%	94%

Изучение возможности использования различных составов сварочных флюсов проводили в лабораторных условиях. Наплавку под слоем флюса производили на образцах 300×150мм толщиной 20мм из листовой стали марки 09Г2С. Процесс проводили проволокой Св-08ГА диаметром 4 мм с использованием сварочного трактора ASAW-1250 на режиме: 680А-28В-28м/ч.

Химические составы полученных флюсов, шлаковых корок, и металла сварных швов приведены в таблицах 2-7 соответственно.

Результаты и их обсуждения

Таблица 2

флюс	Химический состав флюса							
	Массовая доля элементов, %							
Б	FeO	MnO	CaO	SiO ₂	Al ₂ O ₃	MgO	Na ₂ O	K ₂ O
Б	0,84	0,06	35,47	44,66	4,71	5,01	1,92	0,11
Б2	1,34	0,02	33,61	44,42	4,58	5,35	5,46	0,15
Б4	1,09	0,02	33,80	43,45	4,58	4,75	5,44	0,08
Б6	1,30	<0,01	33,64	44,87	4,77	5,44	5,52	0,21
Б8	1,41	0,02	39,32	43,38	4,49	4,41	5,78	0,12
Б21	0,88	0,02	35,73	44,19	4,79	5,40	5,37	<0,01
Б61	0,88	0,08	35,17	43,62	4,65	4,92	5,12	0,10
флюс	Массовая доля элементов, %							
	S	P	ZnO	Cr ₂ O ₃	F	BaO	SrO	TiO ₂
Б	0,98	0,013	0,007	0,04	отс,	0,017	0,050	0,33
Б2	0,93	0,017	0,008	0,05	2,03	0,16	0,14	0,28
Б4	0,98	0,021	0,008	0,04	1,91	0,57	0,28	0,32
Б6	0,93	0,03	0,008	0,05	2,09	0,45	0,32	0,28
Б8	0,98	0,029	0,008	0,03	1,79	1,18	0,52	0,30
Б21	1,00	0,013	0,007	0,04	2,11	0,028	0,064	0,29
Б61	0,94	0,014	0,008	0,06	2,17	0,049	0,085	0,29

Секция 1: Экологические основы прогрессивных технологий

Таблица 3

Химический состав шлаковых корок

флюс	Массовая доля элементов, %							
	FeO	MnO	CaO	SiO ₂	Al ₂ O ₃	MgO	Na ₂ O	K ₂ O
Б	3,06	0,41	35,82	38,97	4,70	6,88	4,26	0,07
Б2	3,67	0,67	33,91	39,90	4,56	6,71	4,34	0,13
Б4	3,94	0,42	33,89	42,22	4,47	6,68	4,44	0,16
Б6	4,44	0,53	33,61	39,46	4,47	6,89	4,32	0,22
Б8	3,40	0,41	35,49	38,37	4,68	7,15	3,96	0,05
Б21	2,80	0,37	36,18	40,06	4,61	7,00	3,86	0,10
Б61	3,96	0,46	36,26	38,55	4,89	7,45	4,28	0,19
флюс	Массовая доля элементов, %							
	S	P	ZnO	Cr ₂ O ₃	F	BaO	SrO	TiO ₂
Б	0,76	0,014	0,008	0,06	2,35	отс,	0,064	0,20
Б2	0,60	0,018	0,007	0,08	2,20	0,19	0,18	0,27
Б4	0,58	0,021	0,006	0,05	2,34	0,25	0,21	0,28
Б6	0,55	0,023	0,007	0,07	2,37	0,43	0,31	0,30
Б8	0,66	0,022	0,007	0,06	2,43	0,37	0,29	0,30
Б21	0,64	0,014	0,006	0,057	2,33	0,16	0,14	0,30
Б61	0,61	0,020	0,012	0,070	2,58	0,36	0,25	0,28

Таблица 4

Химический состав наплавленных валиков

Флюс	Массовая доля элементов, %							
	C	Si	Mn	Cr	Ni	Cu	Ti	W
Б6	0,10	0,18	0,50	0,05	0,14	0,15	отс,	0,012
Б8	0,11	0,17	0,56	0,05	0,14	0,16	0,001	0,006
Б21	0,07	0,16	0,53	0,05	0,13	0,15	отс,	0,007
Б61	0,06	0,15	0,55	0,04	0,10	0,14	0,001	0,011
Флюс	Массовая доля элементов, %							
	V	Mo	Al	Nb	S	P	Ba	Sr
Б6	0,006	0,017	0,018	0,005	0,046	0,013	0,0016	отс,
Б8	0,004	0,020	0,016	0,005	0,062	0,008	отс,	отс,
Б21	0,004	0,016	0,007	0,005	0,073	0,011	отс,	0,0016
Б61	0,002	0,017	отс,	0,002	0,069	0,011	0,0004	0,0028

Таблица 5

Химический состав флюса

флюс	Массовая доля элементов, %							
	FeO	MnO	CaO	SiO ₂	Al ₂ O ₃	MgO	Na ₂ O	K ₂ O
М	0,50	7,97	31,34	46,09	60,61	5,74	0,40	0,01
М2	1,39	7,68	31,27	46,31	6,48	5,40	10,52	0,04
М4	0,77	7,69	30,56	46,11	6,42	5,42	0,49	0,03
М6	1,11	7,12	29,27	45,52	6,87	4,75	0,75	0,20
М21	1,32	7,94	32,09	45,19	6,20	5,35	0,36	0,01
М61	0,33	8,02	30,97	46,38	6,71	6,01	0,29	0,01
флюс	Массовая доля элементов, %							
	S	P	ZnO	Cr ₂ O ₃	F	BaO	SrO	TiO ₂
М	0,33	0,011	0,004	0,05	0,45	0,12	0,072	0,07
М2	0,20	0,022	0,008	0,03	0,48,	0,35	0,18	0,09
М4	0,38	0,022	0,0014	0,04	0,36	0,35	0,21	0,08
М6	0,17	0,037	0,0012	0,04	0,45	0,79	0,41	0,14
М21	0,43	0,014	0,009	0,05	0,40	0,15	0,087	0,07
М61	0,18	0,013	0,009	0,03	0,42	0,16	0,092	0,07

Таблица 6

Химический состав шлаковых корок

флюс	Массовая доля элементов, %							
	FeO	MnO	CaO	SiO ₂	Al ₂ O ₃	MgO	Na ₂ O	K ₂ O
M	1,69	7,78	32,35	42,50	6,59	5,55	0,30	0,01
M2	2,07	7,54	31,91	43,63	6,52	5,92	0,31	0,01
M4	2,11	7,15	31,45	45,31	6,38	5,42	0,43	0,03
M6	1,93	7,20	31,37	44,30	7,46	5,26	0,39	0,02
M21	2,34	7,42	31,97	43,3	6,59	5,56	0,31	0,03
M61	2,21	6,95	30,26	45,55	7,06	4,99	0,33	0,13
флюс	Массовая доля элементов, %							
	S	P	ZnO	Cr ₂ O ₃	F	BaO	SrO	TiO ₂
M	0,21	0,011	0,012	0,04	0,37	0,11	0,057	0,07
M2	0,16	0,012	0,006	0,10	0,45	0,19	0,098	0,08
M4	0,18	0,017	0,008	0,07	0,41	0,38	0,20	0,09
M6	0,23	0,017	0,008	0,05	0,46	0,34	0,19	0,09
M21	0,021	0,014	0,004	0,07	0,38	0,34	0,20	0,07
M61	0,17	0,017	0,011	0,04	0,38	0,64	0,39	0,11

Таблица 7

Химический состав наплавленных валиков

№ про бы	Массовая доля элементов, %							
	C	Si	Mn	Cr	Ni	Cu	Ti	W
M	0,07	0,43	1,16	0,05	0,11	0,14	отс,	0,018
M2	0,08	0,26	0,83	0,05	0,13	0,15	отс,	0,012
M4	0,07	0,29	0,84	0,05	0,13	0,15	отс,	0,006
M6	0,09	0,26	0,77	0,04	0,10	0,15	отс,	0,013
M21	0,09	0,31	0,76	0,05	0,13	0,15	отс,	0,011
M61	0,08	0,23	0,77	0,05	0,13	0,14	0,001	0,011
№ про бы	Массовая доля элементов, %							
	V	Mo	Al	Nb	S	P	Ba	Sr
M	0,007	0,021	отс,	0,003	0,019	0,012	отс,	отс,
M2	0,003	0,020	0,002	0,004	0,016	0,009	0,0041	отс,
M4	0,005	0,020	отс,	0,003	0,025	0,014	отс,	отс,
M6	0,004	0,020	0,002	0,003	0,021	0,011	0,0065	отс,
M21	0,004	0,019	отс,	0,002	0,030	0,013	0,0119	отс,
M61	0,004	0,017	0,001	0,003	0,021	0,014	отс,	0,0001

Визуальный контроль качества наплавленных валиков показал неравномерность формы шва, при этом наблюдалась плохая отделимость шлаковой корки, дефектов не выявлено.

Из наплавочных пластин были вырезаны образцы и выполнены: рентгеноспектральный анализ состава металла швов, металлографические исследования металла сварных швов, приведенные в таблице 4.

Металлографическое исследование проводилось на микрошлифах без травления с помощью оптического микроскопа OLYMPUS GX-51 при увеличении ×100. Результаты анализа на наличие неметаллических включений в зоне сварного шва, проведенного согласно ГОСТ 1778-70 [7] приведены на рисунках 1,2, таблице 8, 9.

Секция 1: Экологические основы прогрессивных технологий

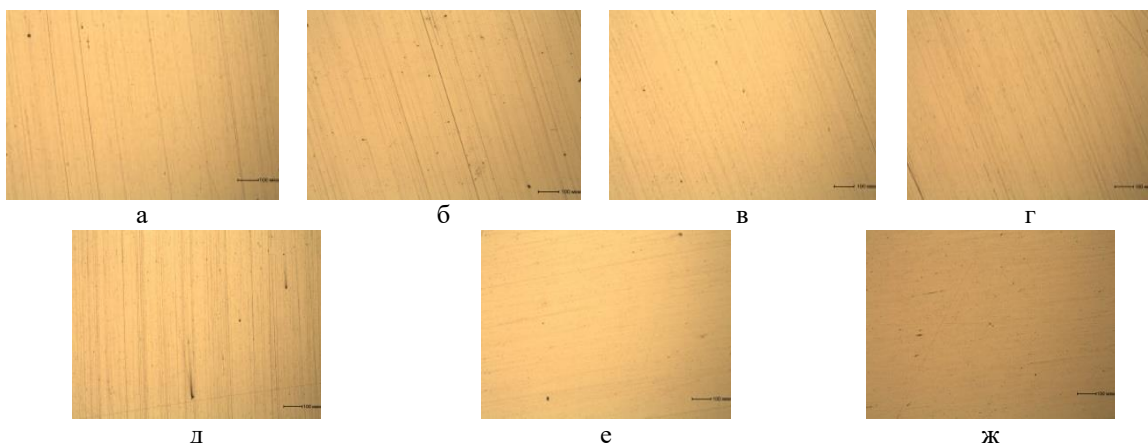


Рис. 1. Неметаллические включения в зоне наплавленных валиков образцов: а) образец Б2; б) образец Б4; в) образец Б6; г) образец Б8; д) образец Б21; е) образец Б61; ж) образец Б

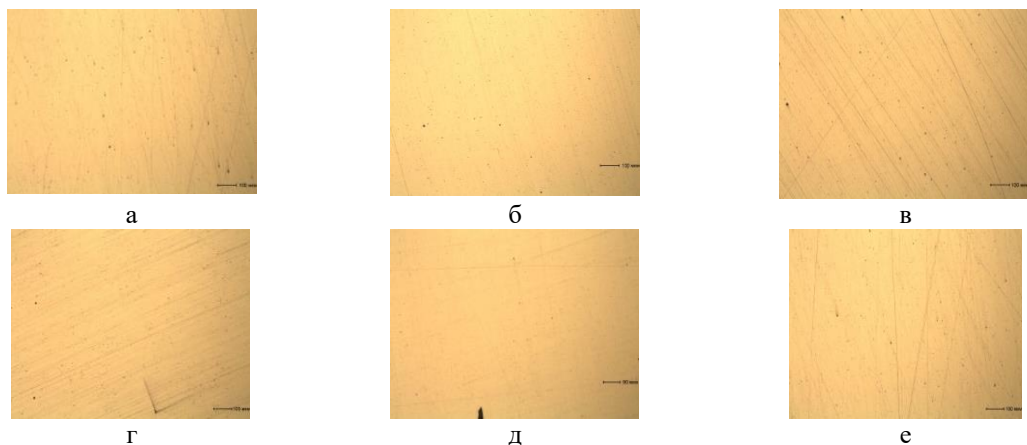


Рис. 2. Неметаллические включения в зоне сварных швов образцов : а) М2; б) М4 ; в) М61; г) М21 ; д) М6 ; е) М

Таблица 8

Неметаллические включения в зоне сварных швов

Образец	Неметаллические включения, балл		
	силикаты	силикаты хрупкие	оксиды точечные
Б	1а; 2а; 2б	1а; 1в	4а
Б2	2а; 3а	отс.	1а
Б4	2б; 4б;	отс.	2а
Б6	3а; 4а	отс.	2а
Б8	3б	отс.	2а
Б21	2б; 3б	1б	1а
Б61	2а; 3а	отс.	2а

Таблица 9

Неметаллические включения в зоне сварных швов

Образец	Неметаллические включения, балл		
	силикаты	силикаты хрупкие	оксиды точечные
М	1а; 2а; 4б	отс.	2а
М2	3б; 2б;	отс.	1а
М4	3б; 1а	отс.	1а
М6	1а	отс.	1а
М21	3а; 4б	отс.	3а; 2а
М61	2а; 1б	отс.	1а

Исследования указывают на снижение загрязненности металла сварного шва силикатами недеформирующими и отсутствие силикатов хрупких

Выводы:

- Показана принципиальная возможность использования ковшевого электросталеплавильного шлака, шлака силикомарганца и барий-стронциевого модификатора в качестве флюсов и рафинирующей и газозащитной добавки для сварочных флюсов.
- Использование барий-стронциевого модификатора позволяет снизить загрязненность сварного шва неметаллическими включениями: силикатами недеформирующими, оксидами точечными и силикатами хрупкими, а также повысить десульфурирующую способность сварочных флюсов.

Литература.

- Использование ковшевого сталеплавильного шлака при изготовлении сварочного керамического флюса/ Липатова У.И., Махин Д.И., Волосенкова Д.С./// Прогрессивные технологии и экономика в машиностроении. Сб. тр. VI Всерос. научн.-практич. конференции для студентов и учащейся молодежи. Юргинский технологический институт - Томск: изд. Томского политехнического университета, 2015 – С. 105–107.
- Новые материалы для сварки и наплавки / Козырев Н.А., Галевский Г.В., Крюков Р.Е., Титов Д.А., Шурупов В.М. // Металлургия: технологии, управление, инновации, качество. Труды XXIX Международн. научн.-практич. конференции 15-16 декабря 2015 г. – Новокузнецк: изд. центр СибГИУ, 2015. –ч. 2. - С. 184-188.
- Липатова У.И. Влияние добавки барийстронциевого карбонатита во флюс на качество сварного шва. [Текст]/ У.И. Липатова, И.В. Матинин, А.А. Проводова, Д.И. Кузьменко// Наука и молодежь: проблемы, поиски, решения: сборник трудов Всероссийской научной конференции студентов, аспирантов и молодых ученых. Вып.20 –ч.III – Новокузнецк: СибГИУ, 2016. – С. 266-271.
- Липатова У.И. Влияние добавки барийстронциевого карбонатита во флюс на качество сварного шва. [Текст]/ У.И. Липатова, И.В. Матинин, А.А. Проводова, Д.И. Кузьменко// Наука и молодежь: проблемы, поиски, решения: сборник трудов Всероссийской научной конференции студентов, аспирантов и молодых ученых. Вып.20 –ч.III – Новокузнецк: СибГИУ, 2016. – С. 266-271
- Изготовление сварочных флюсов с использованием отвальных шлаков производства силикомарганца / Козырев Н.А., Крюков Р.Е., Козырева О.Е., Липатова У.И. // Обработка материалов: современные проблемы и пути решения: сборник трудов Всероссийской научно-практической конференции молодых ученых, аспирантов и студентов / Юргинский технологический институт. – Томск: Изд-во Томского политехнического университета, 2015. – С. 90-95.
- О возможности использования шлака производства силикомарганца для изготовления сварочных флюсов / Козырев Н.А., Крюков Р.Е., Липатова У.И., Козырева О.Е. // Металлургия: технологии, инновации, качество: труды XIX научно-практической конференции: В 2 ч. Ч. 2 / Сиб. гос. индустр. ун-т ; под общ. ред. Е.В. Протопопова. – Новокузнецк: Изд.центр СибГИУ, 2015. С. 188-191.
- ГОСТ 1778-70. Сталь. Металлографические методы определения неметаллических включений Текст. Введ. 1970-12-29. – М.: Изд-во стандартов, 1971. - 42 с.

ТЕХНОЛОГИЯ ПОЛУЧЕНИЕ НЕФТЕСОРБЕНТА НА ОСНОВЕ ВТОРИЧНОГО СЫРЬЯ

Е.А.Квашевая, ст. гр. ХТм-171, Е.С. Ушакова, к.т.н., ст.преподаватель,

И.В. Козлова, ст. гр ХТм-161,

Кузбасский государственный технический университет имение Т.Ф.Горбачева

650000, г. Кемерово ул. Весенняя 28, тел. 8(3842)- 39-69-60

E-mail: kvashevaya@mail.ru

Аннотация: При высоком росте нефтедобывающей и нефтеперерабатывающей промышленности, достаточно остро встает вопрос об аварийных разливах нефти, их последствий и способов ликвидации. В данной работе представлен способ переработки вторичного сырья с применением магнетита в готовый продукт – нефтесорбент. В статье подробно описана технологическая схема получения магнитоуправляемого сорбента, используемого для сбора нефти с водной поверхности.

Abstract: With a high growth of the oil-producing and oil-refining industry, the issue of oil spills, their consequences and methods of liquidation is quite acute. In this paper, a method for processing secondary raw materials with the use of magnetite in a finished product, an oil sorbent, is presented. The article

Научное издание

ЭКОЛОГИЯ И БЕЗОПАСНОСТЬ В ТЕХНОСФЕРЕ: СОВРЕМЕННЫЕ ПРОБЛЕМЫ И ПУТИ РЕШЕНИЯ

Сборник трудов
Всероссийской научно-практической
конференции молодых ученых,
аспирантов и студентов

**Редакционная коллегия предупреждает, что за содержание
представленной информации ответственность несут авторы**

Компьютерная верстка и дизайн обложки
Э.Ф. Кусова

**Отпечатано в Издательстве ТПУ в полном соответствии
с качеством предоставленного оригинал-макета**

Подписано к печати 21.11.2017. Формат 60x84/8. Бумага «Снегурочка».
Печать CANON. Усл. печ. л. 85,61. Уч.-изд. л. 77,43
Заказ 297-17. Тираж 250 экз.



Издательство

ТОМСКИЙ ПОЛИТЕХНИЧЕСКИЙ УНИВЕРСИТЕТ